

УДК 539.184.3

**ВЛИЯНИЕ ПОЛЯРИЗАЦИИ АТОМОВ
НА ДВУХФОТОННОЕ РАЗРУШЕНИЕ
ИХ ОТРИЦАТЕЛЬНЫХ ИОНОВ**

П. А. Головинский и Б. А. Зон

Получены формулы для расчета двухфотонного отрыва электронов от отрицательных ионов с учетом поляризации атомов. Рассчитаны вероятности отрыва для отрицательных ионов щелочных элементов светом линейной и циркулярной поляризаций.

Рассмотрение двухфотонного отрыва электрона от отрицательного иона производилось ранее в предположении, что связанный с атомом электрон, поглощая два фотона, переходит в непрерывный спектр, а виртуальное возбуждение атома не учитывалось [1, 2]. В то же время известно, что для щелочных атомов поляризация остояния сильно влияет на вероятность их ионизации [3], а также на однофотонное разрушение их отрицательных ионов [4]. Это позволяет предположить, что подобный эффект может быть существенным и для двухфотонного отрыва электронов от отрицательных ионов щелочных элементов. Рассмотрению этого вопроса посвящена настоящая работа.

Пусть $U(r)$ — центрально-симметричный потенциал взаимодействия электрона с атомом. Тогда часть кулоновского взаимодействия, не сводящуюся к U , можно характеризовать оператором (используется атомная система единиц)

$$\mathbb{V} = \sum_{j=1}^z \frac{1}{|\mathbf{r} - \mathbf{r}_j|} - \frac{z}{r} - U(r),$$

где z — число электронов в атоме. Положительно-частотная часть взаимодействия отрицательного иона с электромагнитным полем напряженностью \mathcal{E} и частотой ω в дипольном приближении имеет вид

$$V_\gamma = V_{e\gamma} e^{i\omega t} + V_{A\gamma} e^{i\omega t},$$

$$V_{e\gamma} = -\frac{1}{2} \mathbf{r} \cdot \mathbf{\mathcal{E}}, \quad V_{A\gamma} = -\frac{1}{2} \mathbf{d} \cdot \mathbf{\mathcal{E}},$$

где \mathbf{r} — дипольный момент слабосвязанного электрона, \mathbf{d} — дипольный момент атома. Для учета виртуального возбуждения атома в первом порядке теории возмущений по оператору V и во втором по V_γ , кроме рассматривавшейся в [1, 2] диаграммы a (рис. 1), следует также рассмотреть диаграммы b , c , а также обменные диаграммы.

Функцию Грина электрона с энергией ε в поле атома обозначим $G_e(\varepsilon)$, функцию Грина атома с энергией $E - G_A(E)$. Тогда функция Грина всей системы при выключенном поле есть [5]

$$G(E) = -\frac{1}{2\pi i} \int_{-\infty}^{\infty} G_A(E - \varepsilon) G_e(\varepsilon) d\varepsilon.$$

Амплитуды перехода M_1 , M_2 , M_3 , соответствующие указанным диаграммам, имеют вид

$$M_1 = \langle \mathbf{p} | V_{e\gamma} G_e (\varepsilon + \omega) V_{e\gamma} | 0 \rangle, \quad (1a)$$

$$\begin{aligned} M_2 = & \langle \mathbf{p} i | [V_{e\gamma} G_e (\varepsilon + \omega) V + V G (E_t + 2\omega) V_{e\gamma}] G_A (E_i + \omega) V_{A\gamma} | i0 \rangle + \\ & + \langle \mathbf{p} i | [V_{e\gamma} G_A (E_i - \omega) V + V G (E_t + 2\omega) V_{A\gamma}] G_e (\varepsilon + \omega) V_{e\gamma} | i0 \rangle + \end{aligned} \quad (1b)$$

$$\begin{aligned} M_3 = & \langle \mathbf{p} i | [V G_A (E_i + 2\omega) V_{A\gamma} G_A (E_i + \omega) V_{A\gamma} + V_{A\gamma} G_A (E_i - \omega) V_{e\gamma}] G (E_t) V | i0 \rangle, \\ & + V_{A\gamma} G_A (E_i - \omega) V G_A (E_i + \omega) V_{A\gamma} | i0 \rangle, \end{aligned} \quad (1b)$$

где E_i , ε — энергии основного состояния атома i и слабосвязанного электрона e , $E_t = E_i + \varepsilon$, \mathbf{p} — импульс освободившегося электрона. Полная амплитуда отрыва электрона двумя фотонами

$$M_p = M_1 + M_2 + M_3.$$

Взаимодействие электрона с нейтральным атомом мало. Мы будем полагать для возбужденных состояний электрона $U \equiv 0$ и функцию Грина электрона

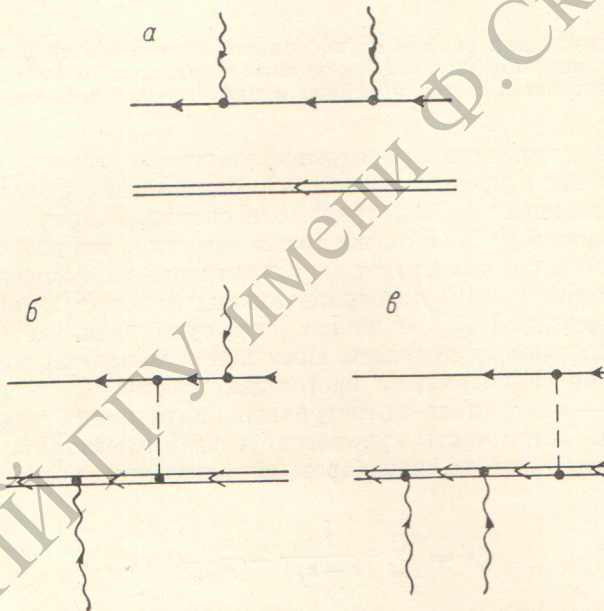


Рис. 4. Графики Фейнмана, описывающие вероятность двухфотонного разрушения отрицательного иона.

Тонкая сплошная линия изображает слабосвязанный электрон, двойная линия — атом, прерывистая линия — взаимодействие V , волнистая — V_γ .

выберем в приближении плоских волн. Импульс электрона в конечном состоянии мал по сравнению с атомным, и в то же время вклад от промежуточных состояний дают в основном также малые импульсы $k \leq \gamma$ ($\gamma = \sqrt{2|\varepsilon|}$). Поэтому обменными эффектами можно пренебречь. Можно также пренебречь величинами $\sim \omega$, k^2 в энергетических знаменателях регулярного представления функции Грина системы [5] по сравнению с разностью уровней энергии нейтрального атома, поскольку ω , $k^2 \ll E_n - E_i$, где E_n — энергия возбужденного атома.

Пользуясь Фурье-преобразованием волновой функции слабосвязанного электрона

$$|0\rangle = \frac{1}{(2\pi)^{3/2}} \int e^{i\mathbf{k}\mathbf{r}} b_{\mathbf{k}} d\mathbf{k},$$

а также тем, что

$$\int e^{i\mathbf{q}\mathbf{r}} \frac{d\mathbf{r}}{|\mathbf{r} - \mathbf{r}_j|} = \frac{4\pi}{q^2} e^{i\mathbf{q}\mathbf{r}_j},$$

нетрудно, учитывая сказанное, получить

$$M_1 = i \frac{\mathcal{E}_l \mathcal{E}_j}{4} \frac{\partial}{\partial p_l} \left(\frac{\langle \mathbf{p} | r_j | 0 \rangle}{\varepsilon + \omega - p^2/2} \right), \quad (2a)$$

$$\begin{aligned} M_2 &= \frac{\mathcal{E}_l \mathcal{E}_j}{8\pi^2} \sum_{nk} \left[i \frac{\partial}{\partial p_l} \left(\frac{F_{in}(\mathbf{q}) \langle n | d_j | i \rangle + \langle i | d_j | n \rangle F_{ni}(\mathbf{q})}{E_i - E_n} \right) \frac{b_k}{q^2 (\varepsilon + \omega - k^2/2)} + \right. \\ &\quad + \left(\frac{F_{in}(\mathbf{q}) \langle n | d_j | i \rangle + \langle i | d_j | n \rangle F_{ni}(\mathbf{q})}{E_i - E_n} \right) \frac{\langle \mathbf{k} | r_l | 0 \rangle}{q^2 (\varepsilon + \omega - k^2/2)} + \\ &\quad + i \frac{\partial}{\partial p_l} \frac{\langle i | d_j | n \rangle F_{ni}(\mathbf{q}) b_k}{(E_i - E_n) q^2} + \left. \frac{F_{in}(\mathbf{q}) \langle n | d_j | i \rangle \langle \mathbf{k} | r_l | 0 \rangle}{(E_i - E_n)^2 q^2} \right], \quad (2b) \\ M_3 &= \frac{\mathcal{E}_l \mathcal{E}_j}{8\pi^2} \sum_{nmk} \frac{1}{q^2} \left[\frac{F_{im}(\mathbf{q}) \langle m | d_l | n \rangle \langle n | d_j | i \rangle}{(E_i - E_m)(E_i - E_n)} + \right. \\ &\quad \left. + \frac{\langle i | d_l | m \rangle \langle m | d_j | n \rangle F_{ni}(\mathbf{q}) + \langle i | d_l | m \rangle F_{mn}(\mathbf{q}) \langle n | d_j | i \rangle}{(E_i - E_m)(E_i - E_n)} \right], \quad (2c) \end{aligned}$$

где $\mathbf{q} = \mathbf{k} - \mathbf{p}$, $F_{st}(\mathbf{q}) = \langle s | \sum_{j=1}^z \exp(i\mathbf{qr}_j) | t \rangle$, по повторяющимся векторным индексам проводится суммирование.

Матричные элементы F_{st} определяют в первом борновском приближении амплитуду безрадиационного перехода между состояниями s и t при столкновении электрона с атомом [6]. Поскольку для импульса слабосвязанного электрона в начальном и конечном состояниях справедливо $p_e \ll \gamma$, то $qa \ll 1$, где a — размеры атома. Пользуясь этим, можно ограничиться при вычислении F_{st} в (2b, в) низшими членами разложения в ряд экспоненты, дающими ненулевой результат из-за правил отбора. Таким образом, для M_2 можно ограничиться дипольным приближением, а для M_3 квадрупольным. Простая оценка по асимптотике волновых функций показывает, что $M_3/M_2 \sim (\varepsilon/E_i)^{3/2} \ll 1$, и членом M_3 можно пренебречь.

Поскольку мы рассматриваем атомы с основными s -состояниями, то

$$\begin{aligned} \sum_n \frac{\langle i | d_l | n \rangle \langle n | d_j | i \rangle}{E_n - E_i} &= \frac{\alpha}{2} \delta_{lj}, \\ \sum_n \frac{\langle i | d_l | n \rangle \langle n | d_j | i \rangle}{(E_n - E_i)^2} &= S(-3) \delta_{lj}, \end{aligned}$$

где α — поляризуемость атома, $S(-3)$ — сумма сил осциллятора (-3) порядка [7]. Тогда полную амплитуду перехода можно представить в виде

$$M_p = \mathcal{E}_l \mathcal{E}_j \left\{ \frac{i}{4} \frac{\partial}{\partial p_l} \left(\frac{\langle \mathbf{p} | r_j | 0 \rangle}{\varepsilon + \omega - p^2/2} \right) + \frac{\alpha}{8\pi^2} \left[\frac{\partial}{\partial p_l} \frac{J_j(\mathbf{p})}{\varepsilon + \omega - p^2/2} - i J_{lj}^{(2)}(\mathbf{p}) \right] - \right. \\ \left. - \frac{S(-3)}{8\pi^2} \left[\frac{\partial}{\partial p_l} J_j(\mathbf{p}) - i J_{lj}^{(1)}(\mathbf{p}) \right] \right\}. \quad (3)$$

В этой формуле введены обозначения

$$J_j(\mathbf{p}) = \int \frac{(k_j - p_j) b_k}{q^2} d\mathbf{k}, \quad (4a)$$

$$J_{lj}^{(1)}(\mathbf{p}) = \int \frac{(k_l - p_l) \langle \mathbf{k} | r_j | 0 \rangle}{q^2} d\mathbf{k}, \quad (4b)$$

$$J_{lj}^{(2)}(\mathbf{p}) = \int \frac{(k_l - p_l) \langle \mathbf{k} | r_j | 0 \rangle}{q^2 (\varepsilon + \omega - k^2/2)} d\mathbf{k}. \quad (4c)$$

Выберем волновую функцию слабосвязанного электрона в модели δ -потенциала [5] $|0\rangle = \sqrt{\gamma/2\pi} e^{-ir}/r$. Тогда $b_k = \sqrt{\gamma}/\pi(\gamma^2 + k^2)$,

$$\langle \mathbf{k} | \mathbf{r} | 0 \rangle = i \frac{\partial b_k}{\partial \mathbf{k}} = - \frac{2i\sqrt{\gamma}\mathbf{k}}{(\gamma^2 + k^2)^2}.$$

Интеграл J_j (4а) вычислялся ранее в работе [4]

$$J_j(p) = -\frac{\pi \sqrt{\gamma} p_j}{p^2} \left[\frac{\gamma^2 + p^2}{p} \operatorname{arctg} \frac{p}{\gamma} - \gamma \right].$$

С учетом этого имеем

$$M_p = \frac{\sqrt{\gamma}}{2\pi} \mathcal{E}_l \left\{ \frac{\partial}{\partial p_l} [\mathcal{E} p] J(p) \right\} - i \frac{\mathcal{E}_l \mathcal{E}_j}{8\pi^2} [\alpha J_{lj}^{(2)}(p) - S(-3) J_{lj}^{(1)}(p)], \quad (5)$$

где

$$J(p) = \frac{1}{(\gamma^2 + p^2)^2 (\varepsilon + \omega - p^2/2)} - \frac{1}{4p^2} \left[\frac{\gamma^2 + p^2}{p} \operatorname{arctg} \frac{p}{\gamma} - \gamma \right] \left[\frac{\alpha}{\varepsilon + \omega - p^2/2} - S(-3) \right].$$

Остановимся на вычислении величин $\mathcal{E}_l \mathcal{E}_j J_{lj}^{(\mu)}$ ($\mu = 1, 2$) (см. (4б, в)). Поскольку $\mathcal{E}_{l(j)}$ в случае произвольной поляризации являются, вообще говоря, комплексными, то необходимо уметь вычислять величины $A_l B_j J_{lj}^{(\mu)}(p)$, где A , B — произвольные вещественные векторы. Заметим, что обе величины с верхними индексами 1 и 2 имеют одинаковую угловую зависимость. Интегрируя по углам, получаем

$$\begin{aligned} A_l B_j J_{lj}^{(\mu)}(p) &= \frac{i \sqrt{\gamma} AB}{p} [\beta Q_\mu(\beta) - \delta Q_\mu(\delta)], \\ Q_1(t) &= \int_0^\infty P(t, k) dk, \quad Q_2(t) = \int_0^\infty \frac{P(t, k) dk}{\varepsilon + \omega - k^2/2}, \\ P(t, k) &= \left\{ \frac{k^2 + p^2 + 2(t - \delta)(k^2 - p^2)/(\beta - \delta)}{2p} \left[2 + \frac{k^2 + p^2}{2kp} \ln \left(\frac{p - k}{p + k} \right)^2 \right] - \right. \\ &\quad \left. - k \ln \left(\frac{p - k}{p + k} \right) \right\} \frac{k^2}{(\gamma^2 + k^2)^2}, \\ \beta &= \cos(\hat{A}\hat{p}) \cos(\hat{B}\hat{p}), \quad \delta = \cos(\hat{A}\hat{B}). \end{aligned} \quad (6)$$

Полная вероятность разрушения получается интегрированием по углам дифференциальной вероятности

$$dW = 2\pi p |M_p|^2 d\Omega_p,$$

где $d\Omega_p$ — элементарный телесный угол, в который вылетает электрон.

В случае линейной поляризации интегрирование по углам дает

$$W_L = 2I^2 p \gamma \left(A^2 + \frac{2}{3} AB + \frac{B^2}{5} \right), \quad (7)$$

$$A = J(p) - \frac{1}{4\pi p} [\alpha Q_2(\delta) - S(-3) Q_1(\delta)],$$

$$B = p \frac{\partial J(p)}{\partial p} + \frac{1}{4\pi p} [\alpha Q_2(\beta) - S(-3) Q_1(\beta)].$$

$I = \mathcal{E} \mathcal{E}^*$ — интенсивность поля.

Для циркулярной поляризации

$$W_C = 2I^2 p \gamma \left(A^2 + \frac{8}{15} B^2 \right), \quad (8)$$

$$A = J(p), \quad B = p \frac{\partial J(p)}{\partial p} + \frac{1}{8\pi p} [\alpha Q_2(\beta) - S(-3) Q_1(\beta)].$$

Поляризуемость α и сумму сил осциллятора $S(-3)$, входящие в выражения (5, 7, 8) для расчета вероятности двухфотонного отрыва, следуя [8], можно представить в виде

$$\alpha = -\frac{4}{3} \int_0^\infty \chi_i(r) f(r) r dr, \quad S(-3) = \frac{4}{3} \int_0^\infty f^2(r) r dr,$$

где $\chi_i(r)$ — радиальная волновая функция валентного электрона атома, f находится из уравнения

$$\left(\frac{d^2}{dr^2} - \frac{l(l+1)}{r^2} - 2U_A(r) + 2E_i \right) f = r\chi_i, \quad l=1. \quad (9)$$

В нем $U_A(r)$ — потенциал атомного оптического электрона. Краевые условия для уравнения (9) имеют вид

$$f(0) = 0, \quad [\ln f(r)]_{r=\infty} = -\sqrt{2|E_i|}.$$

Величины α и $S(-3)$ рассчитывались нами в приближении потенциала Грина—Селина—Захора [9] и, как и при расчете методом модельного потен-

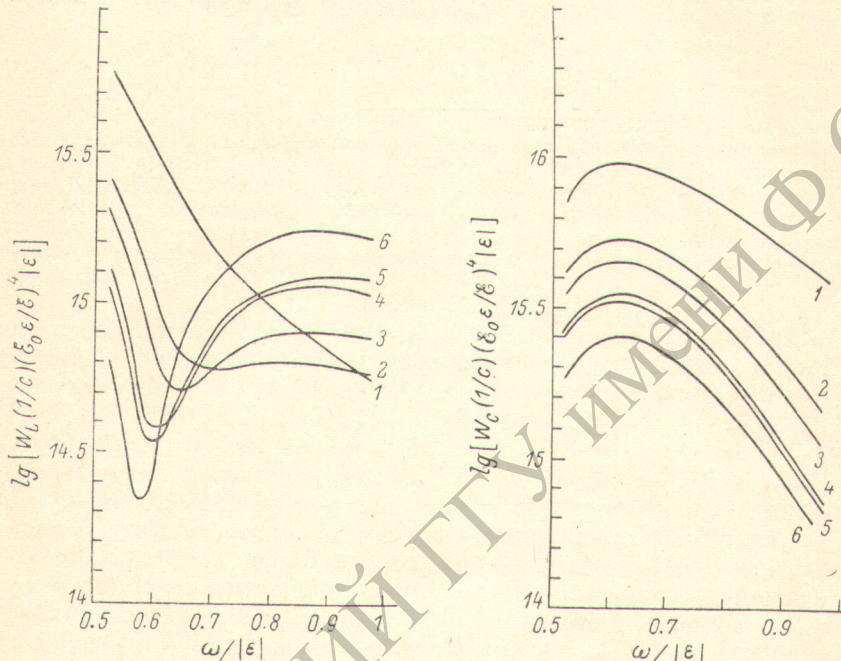


Рис. 2. Вероятность двухфотонного отрыва электрона от отрицательного иона линейно поляризованным светом.

1 — модель δ -потенциала без учета поляризационных эффектов. 2—6 — расчет для ионов Li^- , Na^- , K^- , Rb^- , Cs^- с учетом поляризационных эффектов.

Рис. 3. Вероятность двухфотонного отрыва электрона от отрицательного иона циркулярно поляризованным светом.

Обозначения соответствуют рис. 2.

циала [7], совпадают с экспериментальными в пределах ошибки эксперимента $\sim 2\%$. Значения $Q_p(t)$ также удобно находить численным интегрированием. Результаты расчета вероятности двухфотонного отрыва электрона от отрицательных ионов Li^- — Cs^- линейно поляризованным светом для атомной напряженности поля \mathcal{E}_0 , представлены на рис. 2, а циркулярно поляризованным светом на рис. 3. Кривые 1 соответствуют результатам расчета без учета поляризационных эффектов. Кривые 2—6 — расчет с учетом виртуального возбуждения для различных атомов. Из сравнения этих кривых видно, что поляризационные эффекты приводят к резкому изменению величины вероятности отрыва электрона, а для линейной поляризации поля и ее зависимости от частоты. Это является следствием интерференции амплитуды прямого двухфотонного отрыва и амплитуды отрыва, идущего через возбуждение атома. Поляризация поля также меняет зависимость вероятности от частоты.

Литература

- [1] S. Geltman. Phys. Lett., 4, 168, 1963.
- [2] E. J. Robinson, S. Geltman. Phys. Rev., 153, 4, 1967.
- [3] И. Л. Бейгман, Л. А. Вайнштейн, В. П. Шевелько. Опт. и спектр., 28, 425, 1970.
- [4] П. А. Головинский, Б. А. Зон. Опт. и спектр., 45, 854, 1978.
- [5] А. И. Базь, Я. Б. Зельдович, А. М. Переходом. Рассеяние, реакции и распады в нерелятивистской квантовой механике. «Наука», М., 1971.
- [6] Л. Д. Ландау, Е. М. Лифшиц. Квантовая механика, т. III. «Наука», М., 1974.
- [7] Л. П. Рапопорт, Б. А. Зон, Н. Л. Манаков. Теория многофотонных процессов в атомах. Атомиздат, М., 1978.
- [8] A. Dalgarno, J. T. Lewis. Proc. Roy. Soc., A233, 70, 1955.
- [9] A. E. S. Green, D. L. Sellin, S. Zahor. Phys. Rev., 184, 1, 1969.

Поступило в Редакцию 6 ноября 1980 г.